

КРАТКИЕ СООБЩЕНИЯ

УДК 551.503

А.П. Чайковский

МЕТОДИКА ИССЛЕДОВАНИЯ СТРУКТУРЫ СТРАТОСФЕРНОГО АЭРОЗОЛЬНОГО СЛОЯ ПО РЕЗУЛЬТАТАМ ИЗМЕРЕНИЙ ДЕПОЛЯРИЗАЦИИ ЛАЗЕРНОГО ЭХОСИГНАЛА

Излагается методика калибровки и обработки данных лазерного зондирования при измерении степени деполяризации излучения, рассеянного стратосферным аэрозолем.

Измерение поляризационных характеристик локационного импульса при зондировании стратосфера дает дополнительную информацию о структуре частиц стратосферного аэрозольного слоя (САС) [1]. Достаточно регистрировать такой параметр, как степень деполяризации локационного сигнала Q при зондировании САС линейно поляризованным излучением, чтобы идентифицировать слои, содержащие несферические частицы, обязаные своим происхождением выбросам вулканического пепла, переохлаждению стратосферы и образованию кристаллических облаков [2, 3]. Однако когда аэрозольное рассеяние меньше молекулярного и деполяризованная компонента локационного сигнала мала, что характерно для фонового состояния САС, информация об аэрозоле может быть получена только при использовании соответствующей этим условиям методики измерений и алгоритма обработки данных. Настоящая работа посвящена рассмотрению этого вопроса.

Измеряемыми характеристиками при зондировании САС являются компоненты интенсивности локационного сигнала I_1 и I_2 , регистрируемые при ориентации анализатора параллельно и перпендикулярно плоскости поляризации зондирующего импульса. По ним рассчитывается степень деполяризации $Q = I_2/I_1 = \beta_2/\beta_1$, где β_1 и β_2 — показатели обратного рассеяния, соответствующие двум компонентам светового потока [2]. Параметр Q связан с элементами матрицы обратного рассеяния элементарного объема S_{ij} :

$$Q = \frac{S_{11} - S_{22}}{S_{11} + 2S_{12} + S_{22}}. \quad (1)$$

Методика оценки параметра $Q(h)$ [2] основывается на нормировке этой функции к значению в точке h_0 — слою с минимальным содержанием аэрозольной компоненты, который находится на высоте около 35 км или в области тропопаузы ($Q(h_0) \approx 0,05$). При этом

$$Q(h) = \frac{N_2(h)}{N_1(h)} \frac{N_1(h_0)}{N_2(h_0)} Q(h_0), \quad (2)$$

где $N_1(h_0)$ и $N_2(h)$ — число зарегистрированных фотонов из слоя на высоте h в заданном интервале Δh соответственно в первом и втором каналах регистрирующей системы.

Однако при исследовании малых концентраций стратосферного аэрозоля вместо параметра $Q(h)$ целесообразно применять $Q_a(h) = \beta_{a,2}/\beta_{a,1}$ — степень деполяризации при рассеянии на аэрозольной компоненте атмосферы. Кроме величин Q и Q_a , характеризующих деполяризацию локационного сигнала, по результатам измерений $N_1(h)$ и $N_2(h)$ может быть восстановлено отношение обратного рассеяния $R = \beta_a + \beta_m/\beta_m$, где β_a и β_m — показатели обратного аэрозольного и молекулярного рассеяния, характеризующие вклад аэрозоля в обратное рассеяние. Аналогично могут рассматриваться параметры R_1 и R_2 для двух компонент отраженного сигнала. Из всех величин Q , Q_a , R , R_1 , R_2 только две являются независимыми. Отсюда справедливы соотношения

$$Q = \gamma \frac{R_2}{R_1}. \quad (3)$$

$$R = \frac{R_1 + \gamma R_2}{\gamma + 1} = \frac{R_1(Q + 1)}{\gamma + 1}. \quad (4)$$

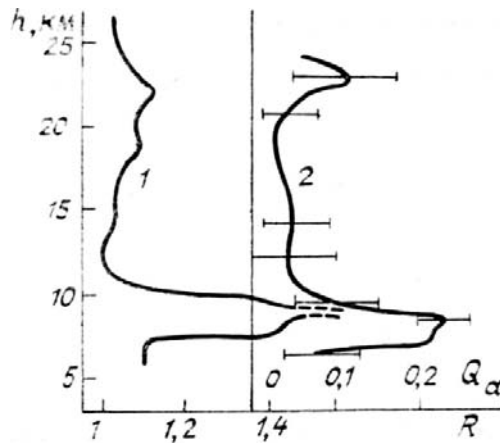
$$Q_a = \gamma \frac{(R_2 - 1)}{(R_1 - 1)} = \frac{R_1 Q - \gamma}{R_1 - 1}, \quad (5)$$

где

$$\gamma = \frac{\beta_{2, m}}{\beta_{1, m}} = 0,017 \text{ [4].}$$

Как следует из (5) и приведенного ниже выражения (9), для погрешности измерений параметра Q_a при относительной ошибке задания $Q(h_0)$ порядка 0,3 ... 0,4 [2] и условиях $R \sim 1$ и $Q \sim \gamma$, что характерно для фонового состояния САС, лидарные измерения становятся неинформативными относительно параметра $Q_a(h)$. Чтобы исключить этот фактор, была разработана методика измерений, при которой по слою в области h_0 калибруется только параметр $R_1(h)$. Калибровка лидара при восстановлении $Q(h)$ осуществляется по результатам измерения числа фотонов $N_1^0(\Delta H)$ и $N_2^0(\Delta H)$ из слоя ΔH , проведенного при ориентации плоскости поляризации излучения на выходе источника под углом 45° к направлению ориентации анализаторов на приемнике. В этом случае

$$Q(h) = \frac{N_3(h)}{N_1(h)} \frac{N_1^0(\Delta H)}{N_2^0(\Delta H)}. \quad (6)$$



Профили параметров R и Q_a : 1 – $R(h)$; 2 – $Q_a(h)$

Для достижения достаточной точности $\Delta H \sim 5$ км относительная погрешность калибровки в данном случае может быть уменьшена до величины приблизительно 0,02. Калибровка может проводиться также посредством засветки входного зеркала деполяризованным излучением. Однако при этом может проявляться неоднородность формируемого светового поля.

Расчет профиля $R_1(h)$ проводится по алгоритму, разработанному в [5] для оценки параметра $R(h)$, с той разницей, что в качестве минимального значения в точке h_0 принимается величина $R_1(h_0)$, связанная с используемой в [5] $R(h_0)$ соотношением

$$\frac{R_1(h_0) - 1}{R(h_0) - 1} = \frac{1 + \gamma}{1 + Q_a(h_0)}. \quad (7)$$

Структура (7) такова, что ошибка оценки $R_1(h_0)$ мало зависит от погрешности задания $Q_a(h_0)$.

Профили $R(h)$ и $Q_a(h)$ определяются по формулам (4), (5). В реальном эксперименте на результаты измерений профиля $Q_a(h)$ существенно влияют малые отклонения в ориентации плоскости поляризации излучения источника относительно анализаторов в канале регистрации, а также частичная деполяризация в каналах источника и приемника. Этот фактор может быть учтен путем перехода в (4) и (5) от величины Q к $Q - Q_0$, где Q_0 – предварительно измеренная для данного прибора величина. На рисунке приведены профили параметров $R(h)$ и $Q_a(h)$, измеренные в соответствии с изложенной на установке, описанной в [6]. Высокие значения R и Q_a ниже уровня тропопаузы $h_0 = 10$ км характеризуют, вероятно, слой перистой облачности.

Величины относительной погрешности ε оценок параметров $R(h)$ и $Q_a(h)$ определяются выражениями

$$\varepsilon^2(R) \approx \varepsilon^2(R_1) + \varepsilon_1^2. \quad (8)$$

$$\begin{aligned} \varepsilon^2(Q_a) = & \frac{R_1^2}{\gamma^2} \frac{Q^2 \varepsilon_2^2 + Q_0^2 \varepsilon_3^2}{(R_1/\gamma(Q - Q_0) - 1)^2} + \varepsilon_1^2 \frac{R_1^2}{(R_1 - 1)^2} \frac{\left(\frac{R_1(Q - Q_0)}{\gamma} - 1\right)}{(R_1/\gamma(Q - Q_0) - 1)^2} + \\ & + \varepsilon_0^2 \frac{R_1^2 \left(\frac{Q - Q_0}{\gamma} - 1\right)}{(R_1 - 1)^2 \left(\frac{R_1(Q - Q_0)}{\gamma} - 1\right)^2}, \end{aligned} \quad (9)$$

где

$$\varepsilon_0^2 = \varepsilon^2(R_1(h_0)) + \varepsilon^2(\beta_m(h_0)) + \varepsilon^2(\beta_m(h)) - 2C(h_0, h)\varepsilon(\beta_m(h_0))\varepsilon(\beta_m(h)) + \varepsilon^2(N_1(h_0)) + \varepsilon^2(T^2(h - h_0));$$

$\varepsilon_1^2 = \varepsilon^2(N_1(h))$; $\varepsilon_2^2 = \varepsilon^2(N_2(h)) + \varepsilon^2(N_1^0) + \varepsilon^2(N_2^0)$; $\varepsilon_3^2 = \varepsilon^2(Q_0)$, $T(h - h_0)$ — ослабление излучения в слое $h - h_0$; $C(h, h_0)$ — коэффициент корреляции показателя обратного молекулярного рассеяния в точках (h, h_0) . Оценки величин $\varepsilon(R_1)$, ε_0 , ..., входящих в (8) и (9), могут быть проведены аналогично методике, изложенной в [5]. В эксперименте, результаты которого представлены на рисунке, $\varepsilon(R) \sim 0,05$, $\varepsilon(Q_a(h))$ — от 0,15 до 1. Среднеквадратическое отклонение оценки $Q_a(h)$ на рисунке показано горизонтальными отрезками. Характерно увеличение относительной погрешности $\varepsilon(Q_a(h))$ при малых R и Q .

1. Зуев В.Е., Кауль Б.В., Козлов В.Н., Самохвалов И.В. //VI Всес. симп. по лазерному и акустическому зондированию атмосферы: Тез. докл. (ч. 1). Томск: ИОА СО АН СССР. 1980. С. 11–14.
2. Iwasaka Y. //J. Geomag. Geoelectr. 1986. V. 38. № . Р. 729.
3. Kent G.S., Poole L.R., McCormick M.P. //J. Atm. Sci. 1986. V. 43. № 20. Р. 2149.
4. Зуев В.Е., Креков Г.М. Оптические модели атмосферы. Л.: Гидрометеоиздат, 1986. 256 с.
5. Russel P.B., Swissier J.Y. and McCormick M.P. //Appl. Opt. 1979. V. 18. № 22. Р. 3783.
6. Бородавко А.Н., Воробей Н.П., Губский В.И. и др. //Оптика атмосферы. 1988. Т. 1. № 3. С. 109–115.

Институт физики АН БССР,
Минск

Поступило в редакцию
29 июня 1990 г.

A. P. Chaikovskii. Methods of Investigation of the Stratospheric Aerosol Layers Structure Based on the Results of the Laser Echo-Signal Depolarization Measurement.

The technique of calibration and processing of laser sounding data by measuring the degree of polarization emission scattered by stratospheric aerosol is described.